

Misure delle sezioni d'urto inclusive di W e Z nelle collisioni p p-bar ad una $\sqrt{S}=1.96 \text{ TeV}$

Di : Gustavo Maccioni

Tutor

Marco Rescigno

Scopo e Introduzione

La misura delle sezioni d'urto di produzione di W e Z rappresenta un importante test per l' SM . Inoltre ai collider adronici può risultare piuttosto semplice identificare i due bosoni osservando i loro decadimenti leptonici.

Di queste sezioni d'urto si conosce il calcolo teorico assai preciso :

$$\sigma_W \text{ Br}(W \rightarrow l\nu) = 2.687 \pm 0.054 \text{ nb}$$

$$\sigma_Z \text{ Br}(Z \rightarrow ll) = 251.3 \pm 5.0 \text{ pb}$$

e dal rapporto di queste sezioni d'urto si ricava una misura indiretta, della larghezza totale di decadimento di W, $\Gamma(W)$.

Scopo e Introduzione

Nei collisionatori adronici gli eventi ad alto p_T sono dominati dai processi di **QCD** che producono q e g ad alto p_T .

Un **q** e un **anti- q** possono **annichilare** dando luogo a particelle pesanti come i bosoni **W** e **Z** .

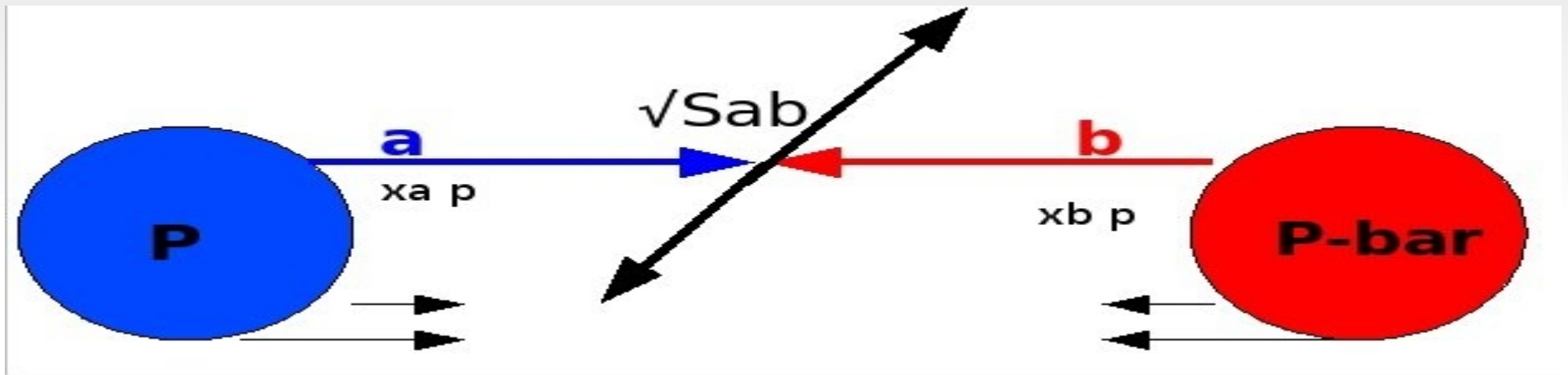
W e **Z** spesso decadono in q e q -bar non distinguibili da quelli prodotti nelle collisioni p e p -bar.

Di conseguenza per identificare **W** e **Z** ($\tau \sim 3 \cdot 10^{-25}$ s) poniamo l'attenzione su i loro decadimenti leptonici identificabili dal resto.

Sezione d'urto ai collider adronici

La sezione d'urto $p p\text{-bar}$, è possibile descriverla anche in termini di partoni.

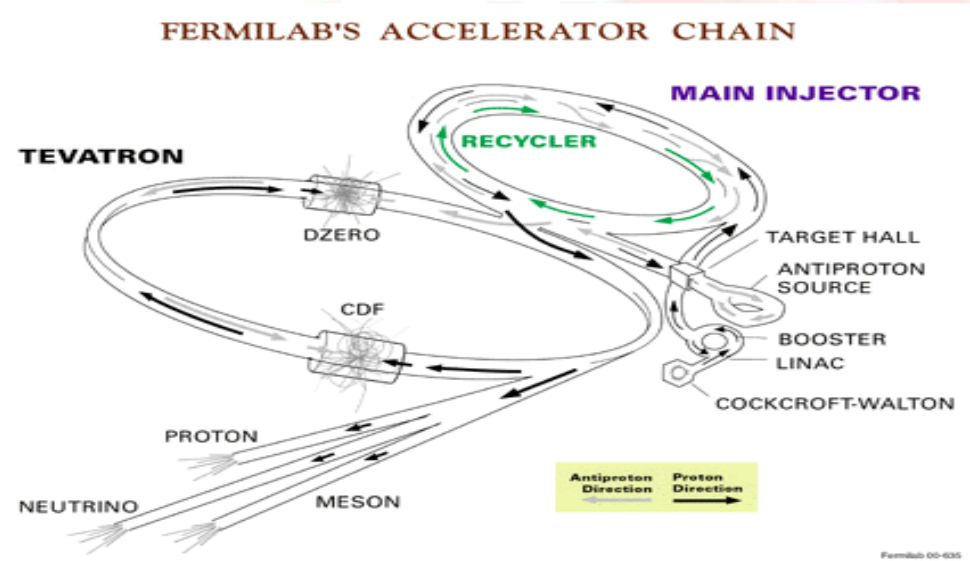
$$\sqrt{S_{ab}} = \sqrt{x_a x_b} \sqrt{S_{p-p\text{bar}}}$$



$$\sigma = \sum_{ab} \int dx_a dx_b f(x_a) f(x_b) \sigma_{ab}(\sqrt{S_{ab}})$$

Dove la somma è fatta su tutti i sapori e le $f(x)$ sono le pdf di trovare un partone che trasporta una frazione x di momento

Tevatron



POTENZIAMENTI

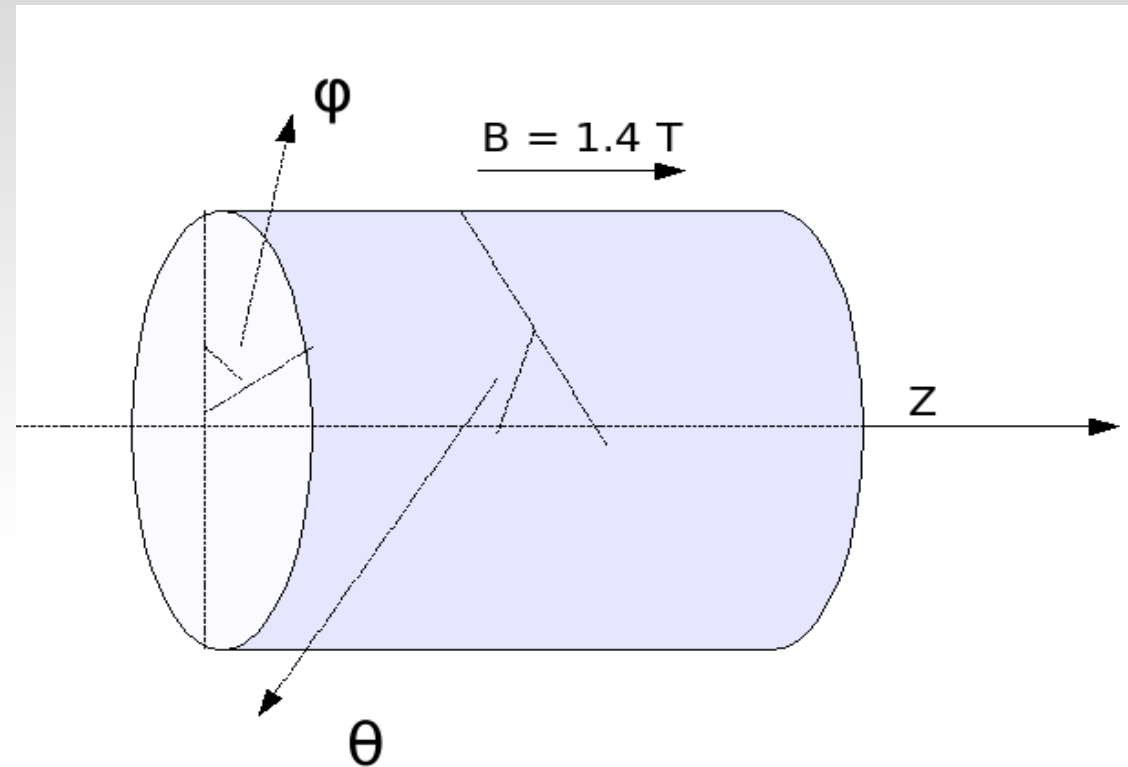
RUN I → RUN II

- Aumento del numero dei bunch da 6 a 36 → riduzione del tempo di collisione da 3564 ns a 396 ns
- Aumento della luminosità da $8.6 \cdot 10^{31} \text{cm}^{-2} \text{s}^{-1}$ a $30 \cdot 10^{31} \text{cm}^{-2} \text{s}^{-1}$
- Aumento dell' E.C.o.M da $\sqrt{S} = 1.80 \text{ TeV}$ a $\sqrt{S} = 1.96 \text{ TeV}$

CDF II

Le parti rilevanti per le nostre misure sono essenzialmente 3 :

- Sistema tracciante
- Calorimetri
- Camere a Drift (muoni)



Sistema tracciante :

Camera a drift COT

- Riempita da Argon-Etano (50% ogni uno)
- Alta velocità di deriva $\sim 50 \mu\text{m/ns}$ compatibile con i brevi intervalli di collisione dei bunch
- distanza max di deriva $0.88 \text{ cm} \rightarrow$ tempo di deriva 200 ns
- Grandi raggi , 96 punti di misura \rightarrow risoluzione in momento $\sigma_{p_T}/p_T^2 \approx 1.7 \cdot 10^{-3} [\text{GeV}/c]^{-1}$

CDF II

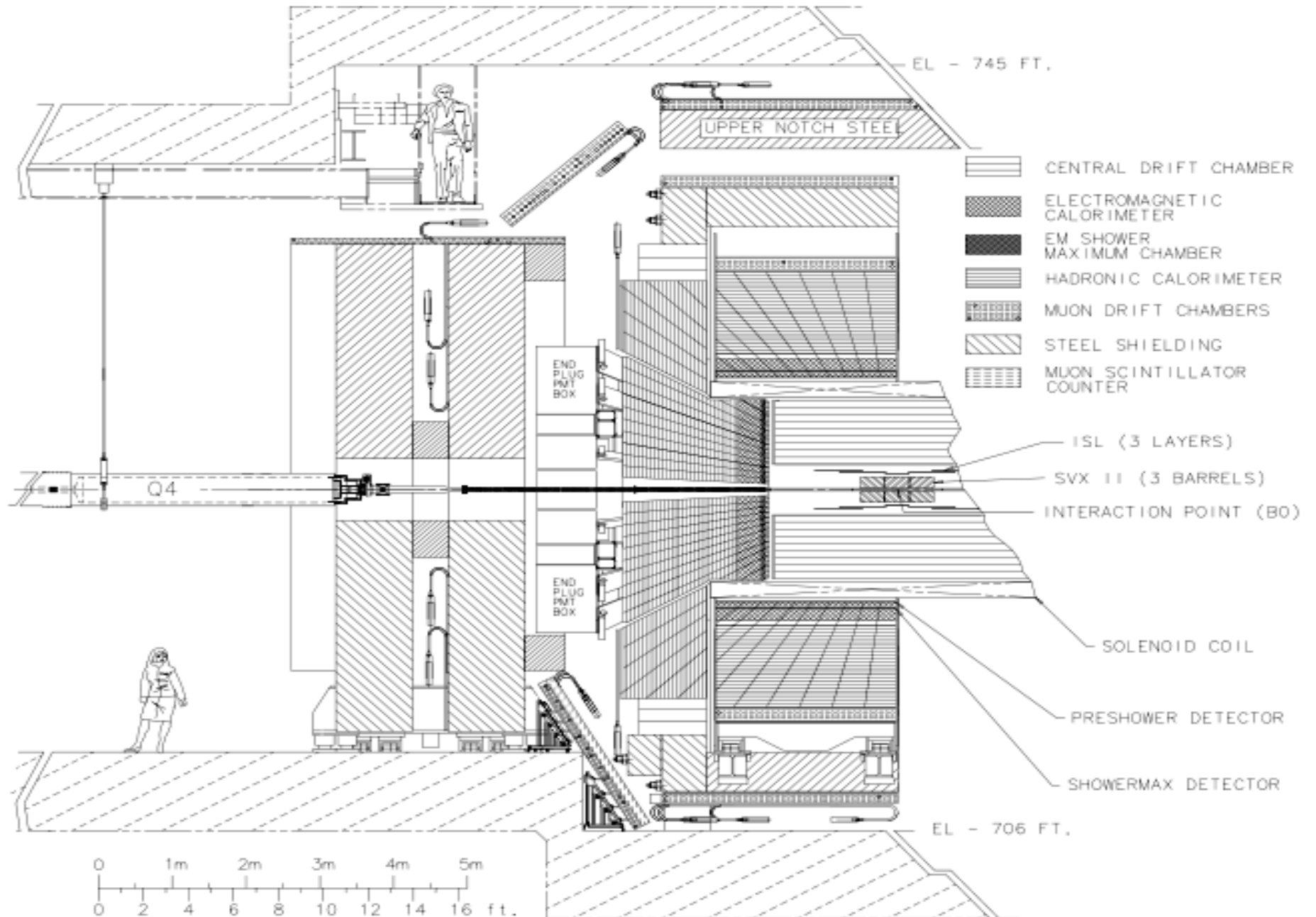


Figura 1: Vista longitudinal del detector CDF Run II

CDF II

Calorimetri:

Elettromagnetico – E' il calorimetro più interno ed è costituito da sandwich di fogli di piombo e scintillatori. Sono sfruttati principalmente nell'identificazione degli elettroni.

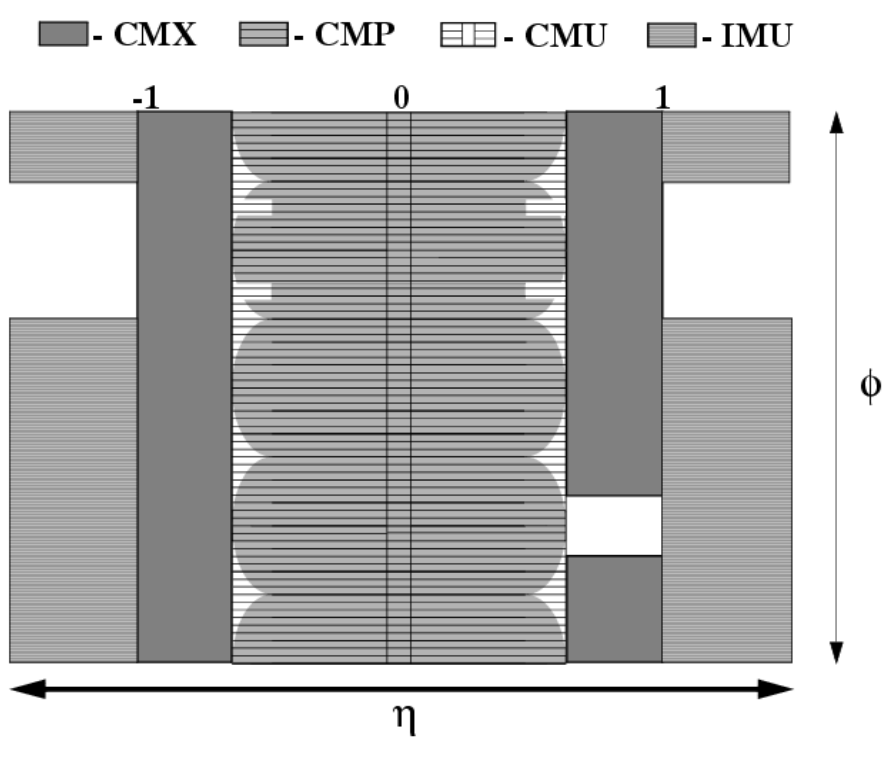
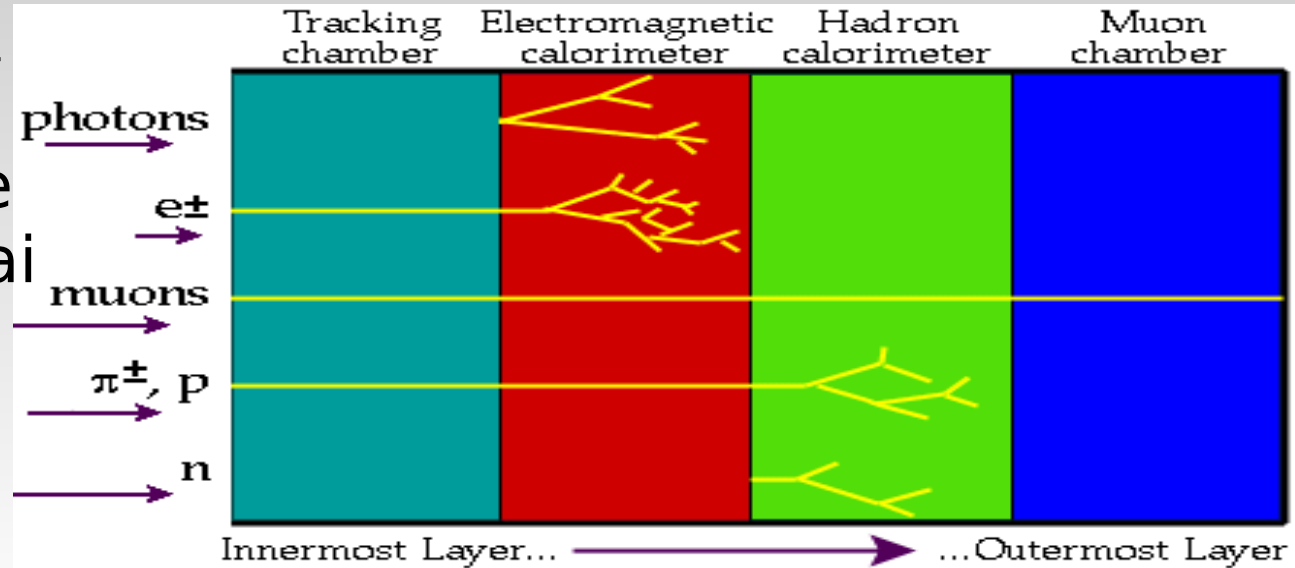
Adronico – E' il calorimetro più esterno ed è composto da sandwich di scintillatori “farciti” con un foglio di acciaio.

La risoluzione in energia di ambedue i calorimetri è stata misurata con opportuni test-beam. I risultati ottenuti sono: $15\%/\sqrt{E}$ (em) ; $80\%/\sqrt{E}$ (hd)

CDF II

Camere a Drift (muoni) :

- Il rivelatore di muoni è posto esternamente ai calorimetri
- Costituito da un sistema di 4 detector indipendenti



- Ciascuno equipaggiato di camere a drift a singolo filo disposte a strati
- Difetto – tempo di drift $>$ tempo che intercorre tra la collisione di un bunch e l'altro

Trigger

- Potenziamento Tevatron —→ riprogettazione del trigger
- 3 Livelli che riducono da 2.5 MHz —→ 75 Hz
- Memorizzazione degli eventi selezionati

Livello 1 :

- Selezione eventi basata su info provenienti da calorimetri, sistema tracciante , muon detector.
- Rate massima di eventi accettati ~ 20 kHz .

Livello 2 :

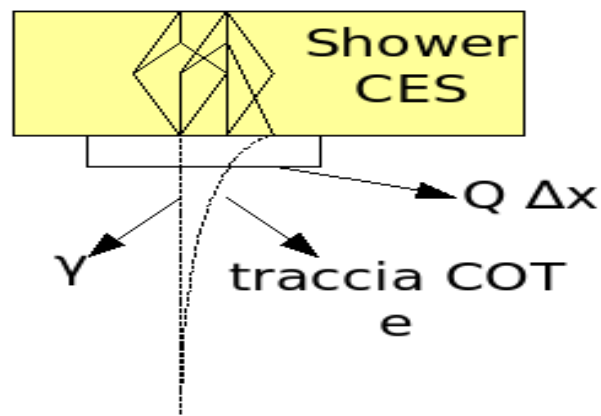
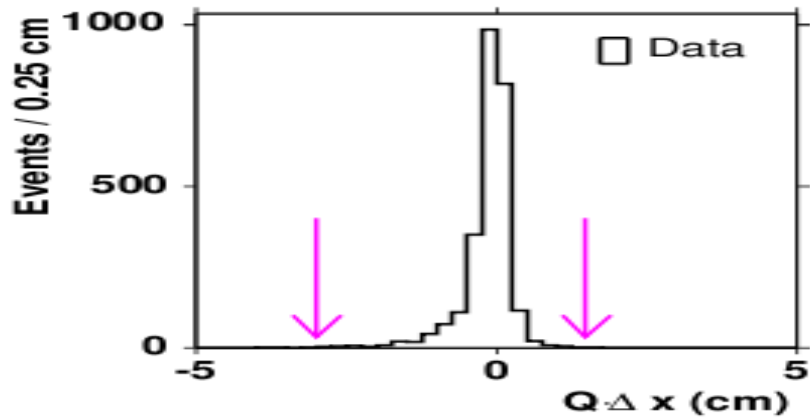
- hw dedicato per la ricostruzione on-line dei cluster em e delle traccie.
- Rate massima di eventi accettati 300 Hz

Livello 3 :

- Procesori con algoritmi di ricostruzione di traccia offline veloci e ottimizzati.
- riduce a 75 Hz la rate per memorizzare gli eventi.
- track matching —→ Cluster e stub in muon detector, migliorando l'identificazione dei leptoni

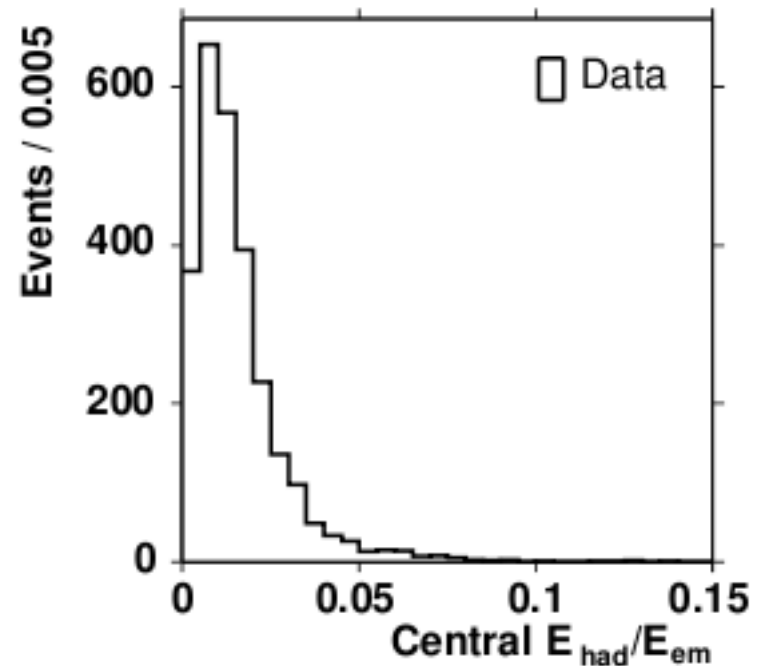
Indentificazione elettroni

- Particelle cariche+deflessione da cmp magnetico+traccia
- Interazione con la materia + Bremsstrahlung = shower em
- Energia tutta depositata nel calorimetro em
- Camere proporzionali CES ($\sim 6X_0$) = forma shower em
- $Q \Delta x$ + corrispondenza con la shower em localizzata = elettrone



$$-3.0 < Q \Delta x < 1.5 \text{ cm}$$

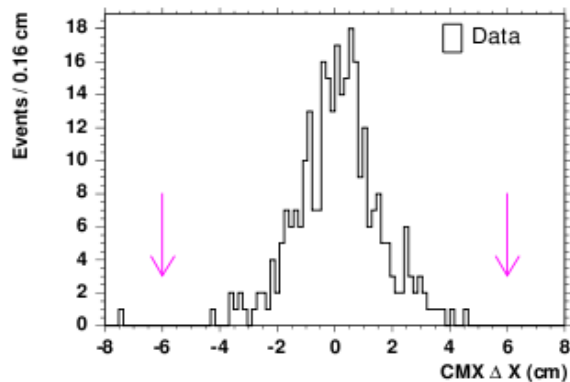
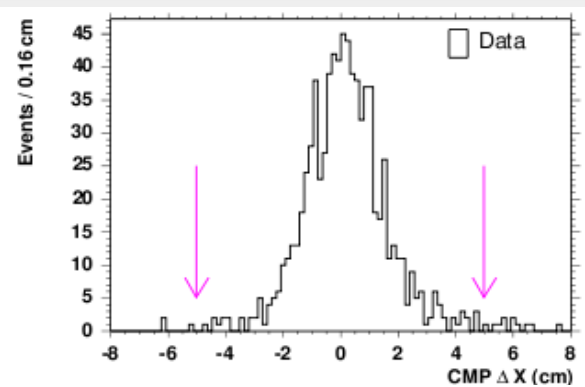
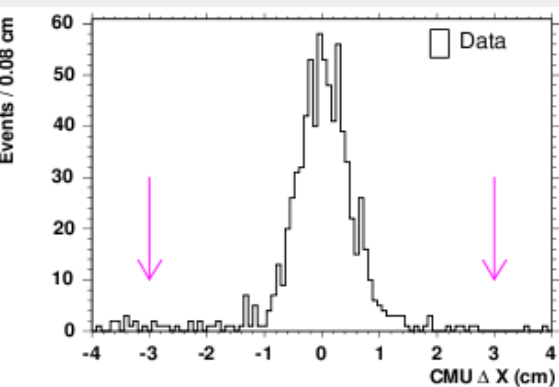
$$E_{\text{had}}/E_{\text{em}} < 0.055 + 0.00045 E$$



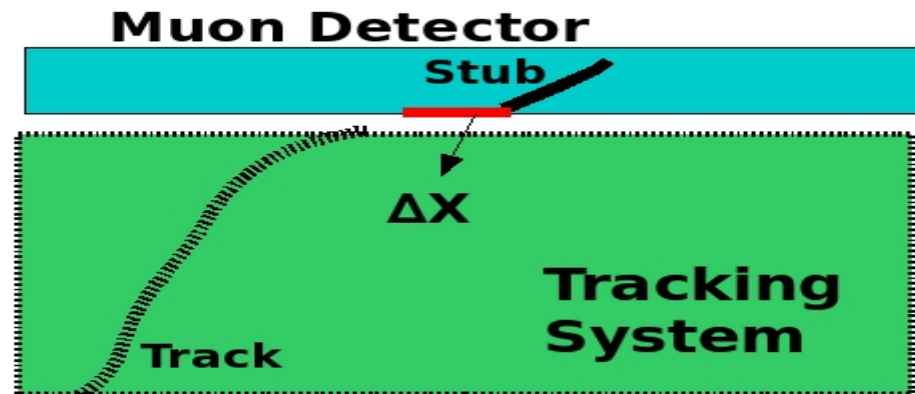
Indentificazione Muoni

- Particelle cariche + deflessione da cmp magnetico + traccia + stub .
- Deposito minimo medio di energia nel calorimetro em e hd $\sim 2 \text{ GeV} \div 3 \text{ GeV}$

ΔX e la variabile entro cui il match tra traccia e stub viene considerato riconducibile ad un muone.



Attraversano, se sono abbastanza energetici, tre camere CMU, CMP, CMX



L'aumento di ΔX in CMP e CMX e legato a lo scattering multiplo (fanno uno spazio maggiore)

Strategia

- Selezione dei W e Z .
- Metodi con cui stimare alcune componenti dei parametri sperimentali che intervengono nel calcolo della sezione d'urto secondo la seguente formula.

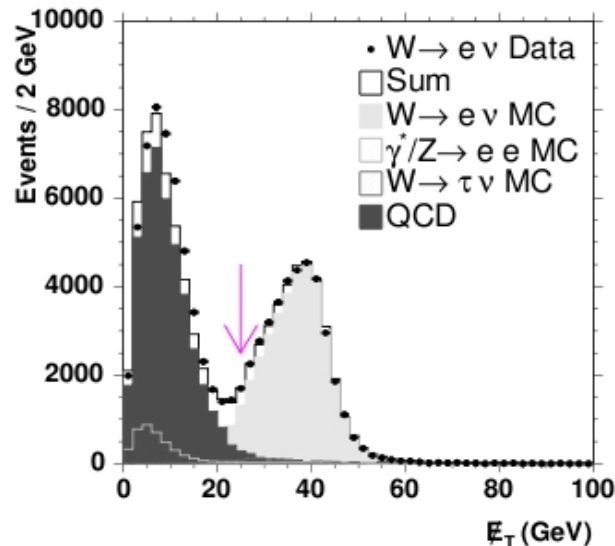
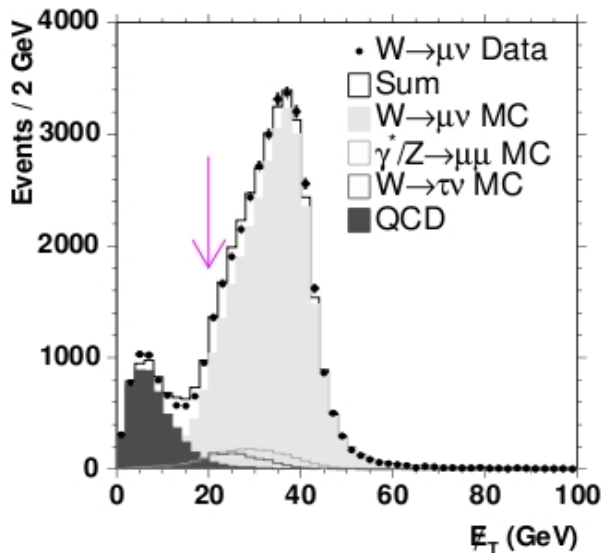
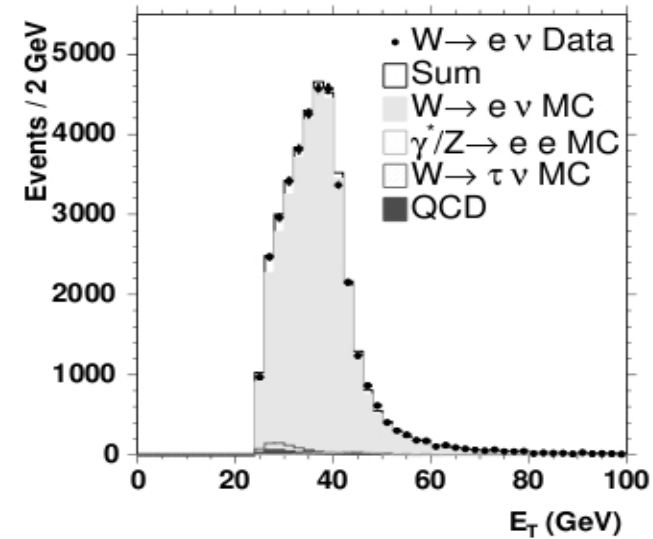
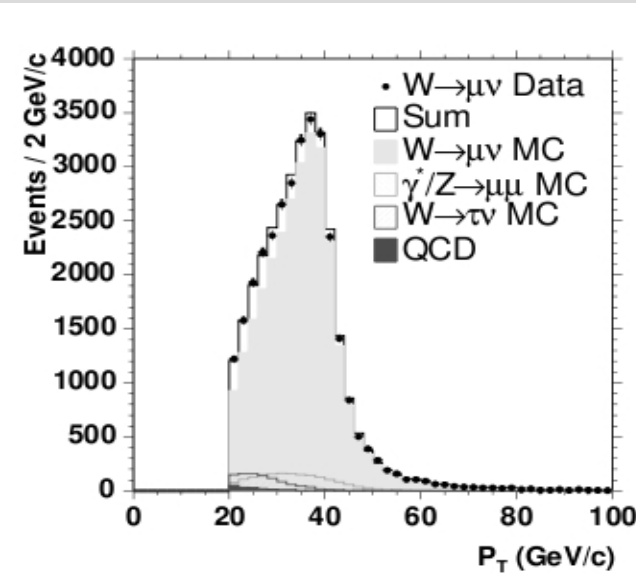
$$\sigma_{W/Z} = \frac{(N_{segnale} - N_{background})}{(A_{W/Z} \epsilon_{W/Z} \int L(t) dt)}$$

Dove $N_{segnale}$ e $N_{background}$ rappresentano rispettivamente il numero di eventi candidati e il numero di fondo atteso.
 $A_{W/Z}$ sono le accettanze dei decadimenti in leptoni di W e Z, $\epsilon_{W/Z}$ le efficienze combinate e $\int L(t) dt$ è la luminosità integrata del nostro campione di eventi.

Selezione di W

W \rightarrow lv richiediamo :

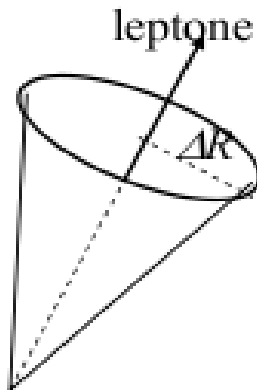
- Alto p_T per il leptone carico e che si trovi nella zona centrale del detector.
- L'evidenza del neutrino è la missing energy



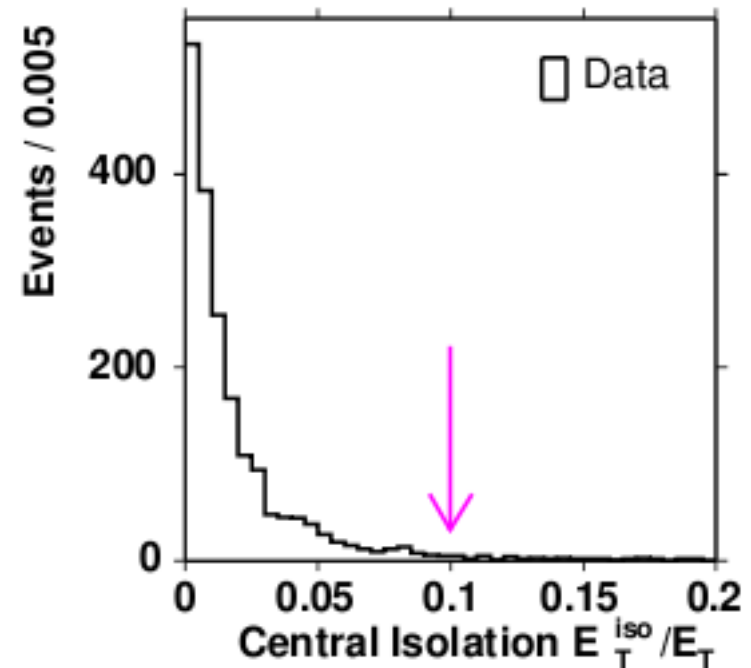
Selezione di Z

Z → Il richiediamo :

- e o μ che soddisfi le condizioni appena citate per il bosone W.
- 2° leptone applico criteri meno restrittivi per l'identificazione.
- $66 \text{ GeV}^2 < M_{ll} < 116 \text{ GeV}/c^2$
- Identificato il 1° leptone si richiede la presenza di un altro leptone isolato (caso del muone, e di carica opposta)
- $\Delta R = \sqrt{\Delta\eta^2 + \Delta\phi^2} \leq 0.4$ il raggio del cono in cui l'energia depositata, E_T^{ISO} , è minore del 10% rispetto all' energia totale depositata dal leptone (E_T per l'elettrone e p_T per l muone).



Z → ee



Efficienza di trigger

Ci sono essenzialmente due modi per determinare l'efficienza di trigger

- Il primo, usato per gli elettroni, sfrutta due trigger indipendenti. Con il primo seleziono eventi facendo richieste meno restrittive rispetto ad un trigger standard mentre il secondo è un trigger standard

*“ esempio : (efficienza di trigger tracking per e)
il primo trigger è basato sul calorimetro em + missing energy, e selezione N_{trg1} , dopo di che misuro quanti di essi passano anche il trigger standard e saranno $N_{trg1\&trg_std}$. Dal rapporto $N_{trg1\&trg_std}/N_{trg1}$ ricavo l'efficienza di trigger.”*

Trigger Level	Track Requirement	Measured Efficiency
Level 1	Fast Tracker ($p_T > 8 \text{ GeV}/c$)	0.974 ± 0.002
Level 2	Fast Tracker ($p_T > 8 \text{ GeV}/c$)	1.000 ± 0.000
Level 3	Full Reconstruction ($p_T > 9 \text{ GeV}/c$)	0.992 ± 0.001
Combined	Level 1 \rightarrow Level 3	0.966 ± 0.002

Alta efficienza

e

errori < del %

Efficienza di trigger

- nel 2° usiamo campioni $Z \rightarrow \mu\mu$ che soddisfano tutti i criteri di isolamento e identificazione.
- Per evitare fondo richiediamo $76 \text{ GeV} < M_{\mu\mu} < 106 \text{ GeV}$.

Se definiamo ϵ_{trg} come la singola efficienza di trigger allora ϵ_{trg}^2 è la frazione di eventi in cui ambedue i muoni sono triggerati, $2\epsilon_{trg}(1-\epsilon_{trg})$ è quella in cui solo un muone viene triggerato. Allora:

$$F = \frac{N_{2trg}}{N_{TOT}} = \frac{\epsilon_{trg}^2}{(\epsilon_{trg}^2 + 2\epsilon_{trg}(1-\epsilon_{trg}))} \longrightarrow \epsilon_{trg} = \frac{(2 * F)}{(1 + F)}$$

Trigger Level	Number of $Z \rightarrow \mu\mu$ Candidate Events	Number of Events with 2 Muon Triggers	Efficiency
Level 1	338	293	0.929 ± 0.011
Level 3	138	137	0.996 ± 0.004
Combined	-	-	0.925 ± 0.011

→ **Alta efficienza e errori < del %**

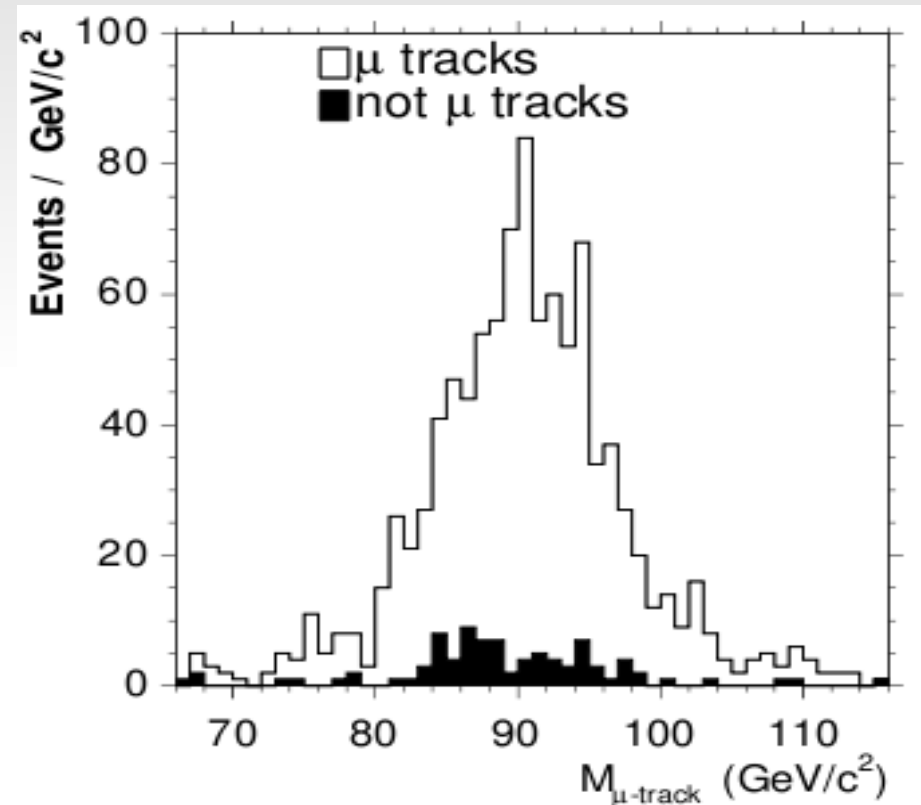
Efficienza di ricostruzione

L'efficienza di ricostruzione è definita come la frazione di leptoni presenti nostra accettazione geometrica per i quali abbiamo corrispondenza tra COT track e la offline track.

Uso eventi $Z \rightarrow ll$ e richiedo :

- una gamba soddisfa i miei criteri di indentificazione.
- Allora ho anche l'altra gamba con carica opposta e p_T alto
- $80 \text{ GeV}/c^2 < M_{ll} < 100 \text{ GeV}/c^2$
- Uso ambedue le gambe per valutare l'efficienza.
- Estrapolo ogni traccia e vedo se punta in una zona attiva del detector
- la frazione di queste ricostruite come leptoni forniscono la misura della mia efficienza.

Lepton	Data Efficiency	Simulation Efficiency	Net Efficiency
Central Electrons	0.990 ± 0.004	0.992 ± 0.001	0.998 ± 0.004
Plug Electrons	1.000	1.000	1.000
Muons	0.935 ± 0.007	0.980 ± 0.001	0.954 ± 0.007



Alte efficienze
e
errori del <%

Stima del fondo del W

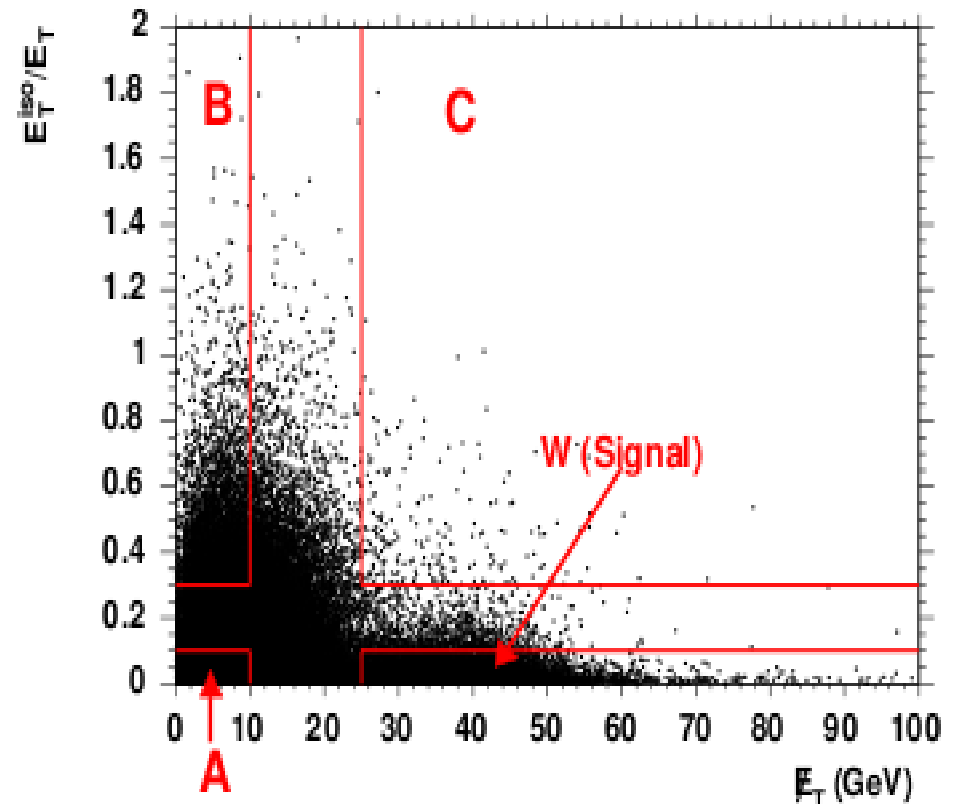
Uso due variabili che assumiamo siano indipendenti per i leptoni da jet adronici (iosolazione e missing energy).

Le regioni A, B e C sono tutte di fondo mentre W è segnale.

- per estrapolare il fondo di C su W assumo (var scorelate) che sia lo stesso di B su A.

Il numero di eventi di fondo lo stimiamo come:

$$\left(\frac{N_W^{bck}}{N_C} \right) = \left(\frac{N_A}{N_B} \right)$$



	Uncorrected $W \rightarrow e\nu$	Corrected $W \rightarrow e\nu$	Uncorrected $W \rightarrow \mu\nu$	Corrected $W \rightarrow \mu\nu$
Region A	30023	26655	3926	3575
Region B	5974	5972	5618	5615
Region C	228	131	496	345
Region W	37584	37584	31722	31722
Hadronic Background	1146	587	346	220
Statistical Error	78	52	17	13
Systematic Error	-	294	-	110
Background Fraction	$3.0 \pm 0.2\%$	$1.6 \pm 0.8\%$	$1.1 \pm 0.1\%$	$0.7 \pm 0.4\%$

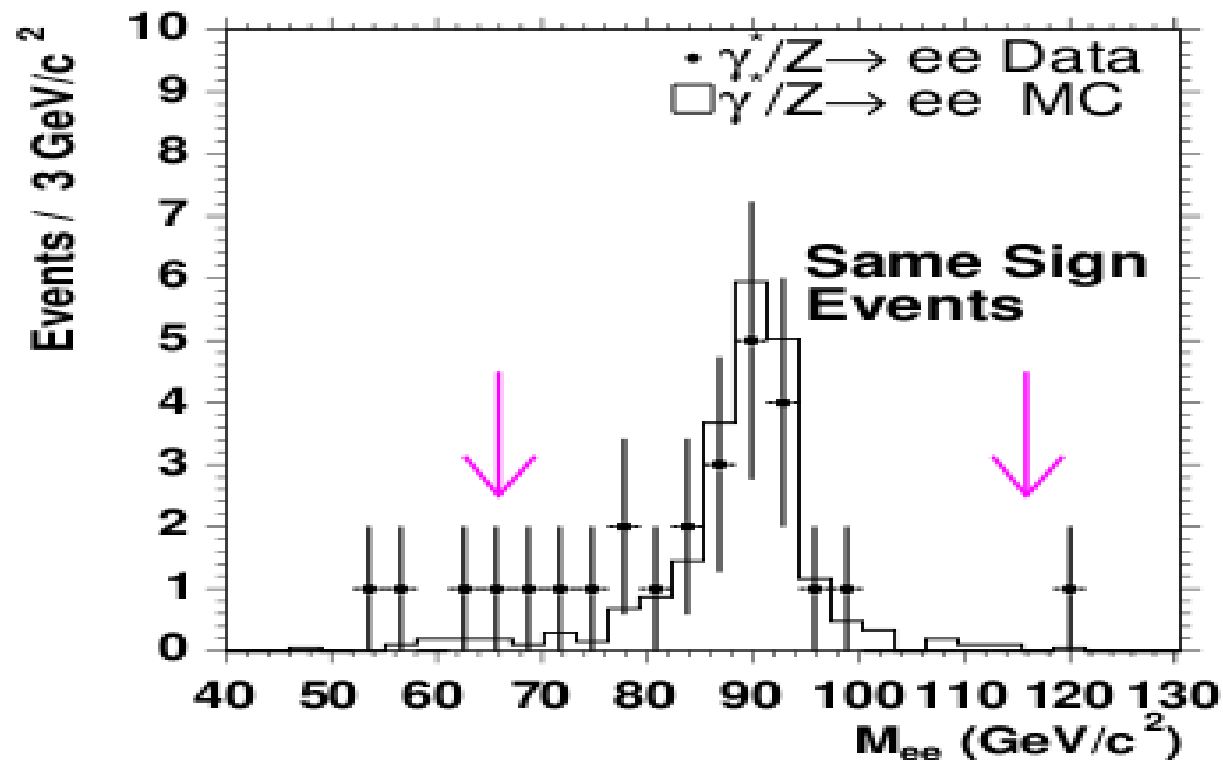
Contributo del fondo

→ **3.0 %** per $W \rightarrow e\nu$

→ **1.1 %** per $W \rightarrow \mu\nu$

Stima del fondo dello Z

- Leptoni da jet adronici \longrightarrow nessuna correlazione di carica \longrightarrow stesso numero di coppie con carica uguale e opposta.
- Approccio che va bene solo nel caso di due leptoni centrali e la carica è estratta dalla traccia.
- $Z \longrightarrow \mu\mu$ contributo al fondo da jet adronico $0.0^{+1.1}_{-0.0}$
- Per $Z \longrightarrow ee$ abbiamo : 22 eventi con carica uguale
- Dalla M_{ee} capisco che parte di essi viene da $Z \rightarrow ee$, pari a 20.4 eventi
- Ricavo il contributo al fondo: $22 - 20.4 \longrightarrow 1.6^{+4.7}_{-1.6}$



Accettanza e principali incertezze

Definita come la frazione di eventi prodotti nelle collisioni p p-bar tali da soddisfare i vincoli geometrici e cinematici fatti su nostro campione di eventi.

L'accettanza è abbastanza sensibile all'incertezza derivante dalle PDF

$$\bar{A} = \frac{\int \frac{d\sigma}{dy} \cdot A(y) \cdot dy}{\int \frac{d\sigma}{dy} \cdot dy}. \quad \text{Nel calcolo interviene la } \sigma \text{ che dipende dalle PDF.}$$

Esistono diversi modelli per le PDF attraverso i quali si può calcolare la $d\sigma/dy$ e quindi dare una stima dell'incertezza sull'accettanza, confrontando tali risultati con altri, prodotti da altri metodi di calcolo.

Contributo dell'incertezza delle PDF sull'accettanza

Per il canale W -> lv siamo nell'ordine 1%

Per il canale Z -> ll siamo nell'ordine 0.7% - 2.3%

Misura della luminosità integrata

$$L = \frac{R_{p-\bar{p}}}{(\epsilon_{CLC} * \sigma_{ine})}$$

Dove $R_{p-\bar{p}}$ è la rate di scattering inelastico, ϵ_{CLC} è l'accettanza del contatore CLC e σ_{ine} è la sezione d'urto inelastica p p-bar ad una $\sqrt{S} = 1.96$ TeV.

$$\epsilon_{CLC} = \left(\frac{N_{EW}}{N_{CLC+PLUG}} \right) * \left(\frac{N_{CLC+PLUG}}{N_{inelastic}} \right)$$

Ricavato dai dati

Ricavato da simulazioni

$N_{CLC+PLUG}$ è il #eventi inelastici etichettati dal CLC e dal calorimetro plug, N_{EW} è un sotto insieme di essi (numero di coincidenze east-west) $N_{inelastic}$ è #totale di scattering inelastici p p-bar.

$$\begin{aligned} \epsilon_{CLC} &= 60.2 \pm 2.6\% \\ \sigma_{ine} &= 60.7 \pm 2.4 \text{ mb} \end{aligned}$$

$$L = 72.0 \pm 4.3 \text{ pb}^{-1}$$

Risultati

	$\gamma^*/Z \rightarrow ee$	$\gamma^*/Z \rightarrow \mu\mu$
N_Z^{obs}	4242	1785
N_Z^{bck}	62 ± 18	13 ± 13
A_Z	$0.3182^{+0.0039}_{-0.0041}$	$0.1392^{+0.0027}_{-0.0033}$
ϵ_Z	0.713 ± 0.012	0.713 ± 0.015
$\int \mathcal{L} dt \text{ (pb}^{-1}\text{)}$	72.0 ± 4.3	72.0 ± 4.3

	$W \rightarrow e\nu$	$W \rightarrow \mu\nu$
N_W^{obs}	37584	31722
N_W^{bck}	1762 ± 300	3469 ± 151
A_W	$0.2397^{+0.0035}_{-0.0042}$	$0.1970^{+0.0024}_{-0.0031}$
ϵ_W	0.749 ± 0.009	0.732 ± 0.013
$\int \mathcal{L} dt \text{ (pb}^{-1}\text{)}$	72.0 ± 4.3	72.0 ± 4.3

$$\begin{aligned} \sigma_W \cdot Br(W \rightarrow e\nu) &= 2.771 \pm 0.014(\text{stat.}) \\ &\pm 0.062(\text{syst.}) \\ &\pm 0.166(\text{lum.}) \text{ nb} \end{aligned}$$

$$\begin{aligned} \sigma_{\gamma^*/Z} \cdot Br(\gamma^*/Z \rightarrow ee) &= 255.8 \pm 3.9(\text{stat.}) \\ &\pm 5.5(\text{syst.}) \\ &\pm 15.3(\text{lum.}) \text{ pb} \end{aligned}$$

$$\begin{aligned} \sigma_W \cdot Br(W \rightarrow \mu\nu) &= 2.722 \pm 0.015(\text{stat.}) \\ &\pm 0.066(\text{syst.}) \\ &\pm 0.163(\text{lum.}) \text{ nb} . \end{aligned}$$

$$\begin{aligned} \sigma_{\gamma^*/Z} \cdot Br(\gamma^*/Z \rightarrow \mu\mu) &= 248.0 \pm 5.9(\text{stat.}) \\ &\pm 8.0(\text{syst.}) \\ &\pm 14.8(\text{lum.}) \text{ pb} . \end{aligned}$$

$$\begin{aligned} \sigma_W \cdot Br(W \rightarrow \ell\nu) &= 2.749 \pm 0.010(\text{stat.}) \\ &\pm 0.053(\text{syst.}) \\ &\pm 0.165(\text{lum.}) \text{ nb}, \end{aligned}$$

$$\begin{aligned} \sigma_{\gamma^*/Z} \cdot Br(\gamma^*/Z \rightarrow \ell\ell) &= 254.9 \pm 3.3(\text{stat.}) \\ &\pm 4.6(\text{syst.}) \\ &\pm 15.2(\text{lum.}) \text{ pb}, \end{aligned}$$

Risultati

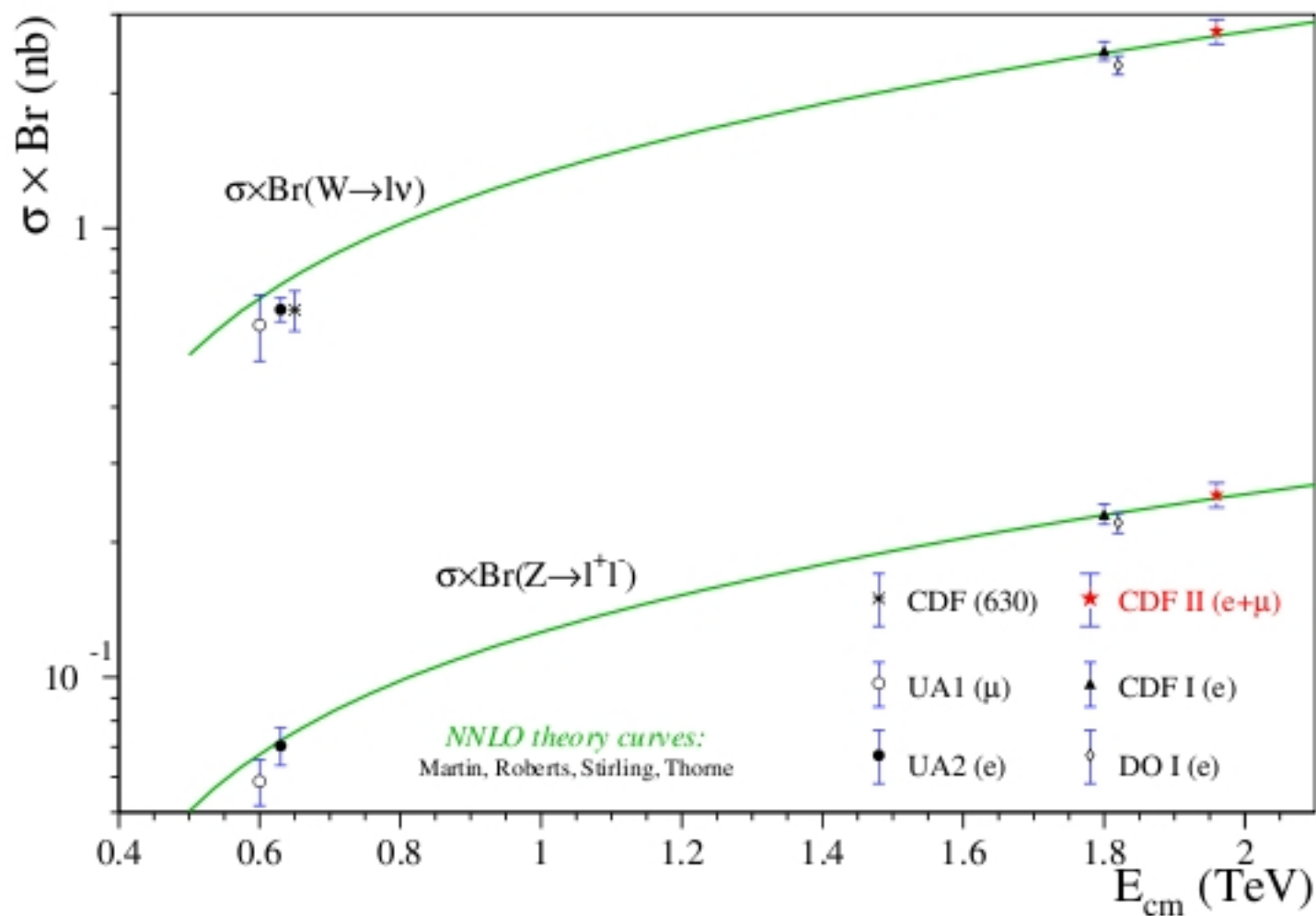


FIG. 35: $W \rightarrow \ell \nu$ and $Z \rightarrow \ell \ell$ cross section measurements as a function of the $p\bar{p}$ center-of-mass energy, E_{CM} . The solid lines correspond to the theoretical NNLO Standard Model calculations from [12, 13, 14, 15, 16].

Risultati

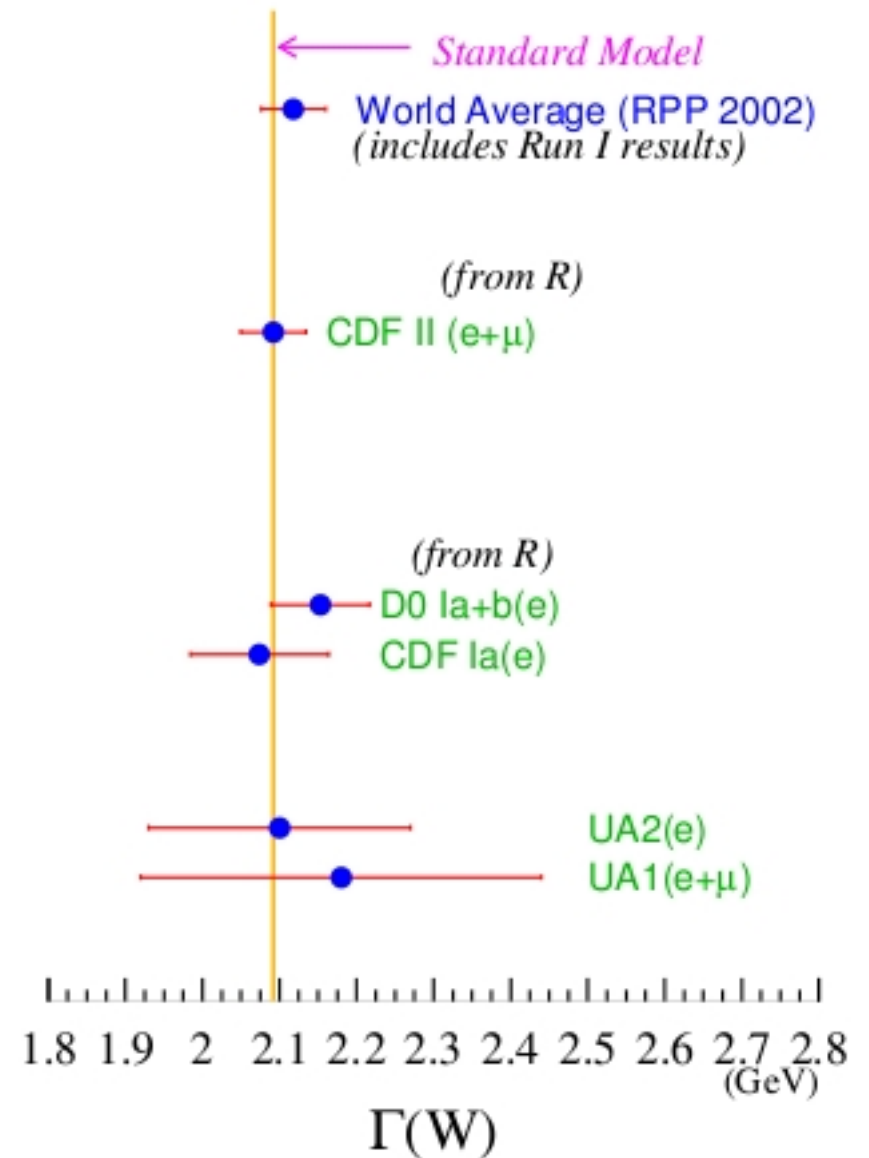
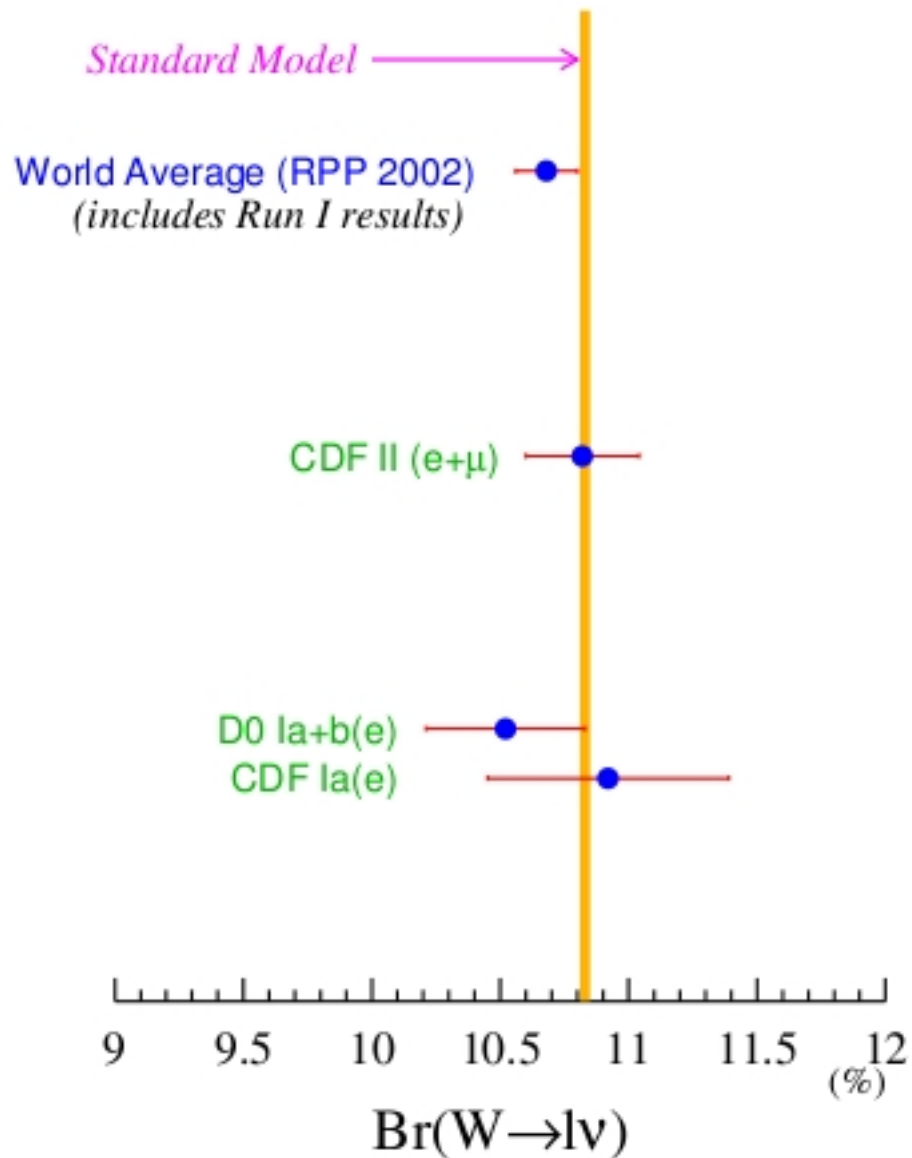
$$Br(W \rightarrow \ell\nu) = \frac{N_W^{\text{obs}} - N_W^{\text{bck}}}{N_Z^{\text{obs}} - N_Z^{\text{bck}}} \frac{\epsilon_Z}{\epsilon_W} \times \left(\frac{A_Z \sigma_Z}{A_W \sigma_W} \right) Br(Z \rightarrow \ell\ell)$$

$$Br(Z \rightarrow \ell\ell) = 0.033658 \pm 0.000023 \quad \text{Calcolato a LEP}$$

$$\Gamma(W \rightarrow \ell\nu) = 226.4 \pm 0.4 \text{ MeV} \quad \text{Valore teorico}$$

$$\Gamma(W) = 2092 \pm 42 \text{ MeV} \quad \Gamma(W)_{\text{teo}} = 2092 \pm 3 \text{ MeV}$$

Risultati



Conclusioni

- Possiamo ritenerci soddisfatti per i risultati ottenuti per quanto riguarda le sezioni d'urto misurate in buon accordo con quelle predette dallo Standard Model (Test superato).
- Ulteriore conferma delle predizioni dello SM ci è stata data dalla misura indiretta della larghezza totale di decadimento del W consistente con il valore aspettato della teoria.